

吾妻山の火山活動解説資料（令和7年11月）

仙台管区気象台
地域火山監視・警報センター

火山活動に特段の変化はなく、活発化を示す傾向は認められません。火山活動は概ね静穏に経過しています。火山ガスや噴気・地熱の活動は継続していますので、入山する際には注意してください。

噴火予報（噴火警戒レベル1、活火山であることに留意）の予報事項に変更はありません。

○ 活動概況

・ 地震や微動の発生状況（図2-④⑤、図3-②～⑥）

今期間、火山性地震、火山性微動及び長周期地震¹⁾は観測されませんでした。

1) 長周期地震とは周期が10秒程度と長い地震です。浅い領域の熱水や火山ガスが関与していると考えられます。

・ 地殻変動の状況（図2-①⑥、図3-①、図4、図16）

浄土平観測点（大穴火口から東南東約1km）に設置している傾斜計では、2023年9月下旬から大穴火口方向の沈降を示す変化となっていましたが、2025年5月中旬以降、概ね停滞しています。

・ 噴気など表面現象の状況（図1、図2-②、図5～11）

上野寺監視カメラによる観測では、大穴火口の噴気の高さは一時的に200mを観測しましたが、その他の期間は100m以下で経過しました。浄土平監視カメラ（東北地方整備局）による観測も含め、大穴火口付近及びその周辺の噴気の状況に変化は認められませんでした。浄土平3監視カメラの熱映像データの解析では、大穴火口周辺の地熱域に特段の変化は認められませんでした。

12日に実施した現地調査では、前回（2024年5月及び10月）までと比較して、大穴火口北西の地熱域で、周囲との温度差が小さくなつたことを確認しました。日射の影響が考えられますが、地熱域の範囲が不明瞭になった可能性もあります。その他、大穴火口周辺の地熱域などの状況に大きな変化は認められませんでした。

・ 火山ガスの状況（図2-③、図12）

大穴火口の北西に設置している火山ガス観測装置による観測では、SO₂（二酸化硫黄）とH₂S（硫化水素）の濃度比²⁾は、概ね静穏期の水準の値で経過していました。

2) 噴気中の各種火山ガスは地下のマグマに由来するものであり、その濃度や成分毎の比率（濃度比）の変化は、火山の活動状態の指標のひとつと考えられています。

・ 全磁力変化の状況（図13、図14、図17）

全磁力連続観測では、一部の観測点のデータは欠測のため確認できませんが、2021年12月以降認められていた大穴火口周辺地下の温度上昇を示唆する変化は、2023年後半から概ね停滞しています。

○ 活動評価

火山性地震は少ない状態で経過しています。浄土平傾斜計では、2025年5月中旬以降、大穴火口方向の変動を示す変化はみられていません。大穴火口周辺では、山体浅部の熱水活動の活発化は認められません。火山活動は概ね静穏に経過しています。

一方で、火山ガスの放出や噴気・地熱の活動は継続していますので、入山する際には注意してください。

この火山活動解説資料は気象庁ホームページで閲覧することができます。

https://www.data.jma.go.jp/vois/data/report/monthly_v-act_doc/monthly_vact.php

次回の火山活動解説資料（令和7年12月分）は令和8年1月13日に発表する予定です。

資料で用いる用語の解説については、「気象庁が噴火警報等で用いる用語集」を御覧ください。

<https://www.jma.go.jp/jma/kishou/know/kazan/kazanyougo/mokujii.html>

この資料は気象庁のほか、国土交通省東北地方整備局、国土地理院、東北大大学及び国立研究開発法人防災科学技術研究所のデータも利用して作成しています。

本資料中の地図の作成に当たっては、国土地理院発行の「数値地図 50mメッシュ（標高）」及び「電子地形図（タイル）」を使用しています。

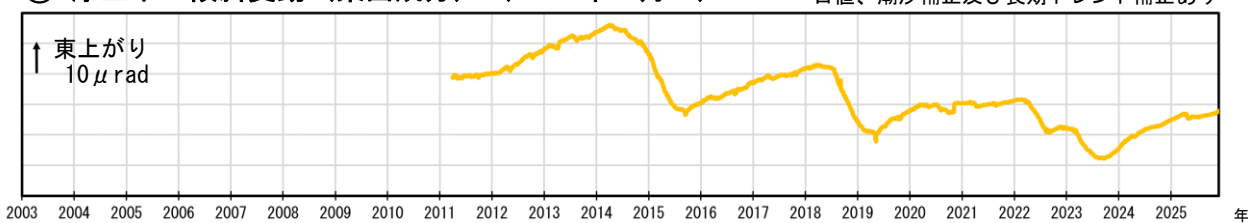


図1 吾妻山 大穴火口周辺の噴気の状況（11月12日）

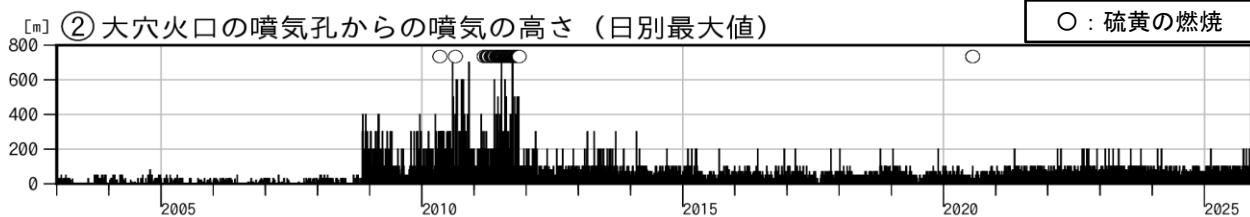
- ・左図：東北地方整備局が設置している浄土平監視カメラ（大穴火口の東南東約500m）の映像です。
- ・右図：上野寺監視カメラ（大穴火口から東北東約14km）の映像です。

上野寺監視カメラによる観測では、今期間、大穴火口の噴気の高さは一時的に200mを観測しましたが、その他の期間は100m以下で経過しました。浄土平監視カメラ（東北地方整備局）による観測も含め、大穴火口及びその周辺の噴気の状況に変化は認められません。

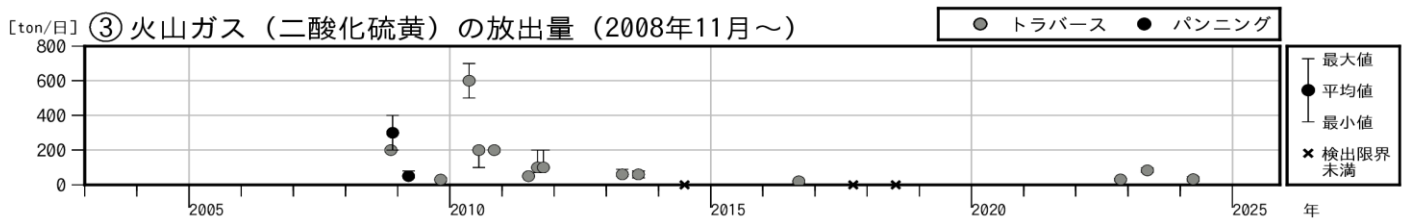
① 浄土平 傾斜変動（東西成分）（2011年4月～）

観測開始：2011年4月1日
日値、潮汐補正及び長期トレンド補正あり

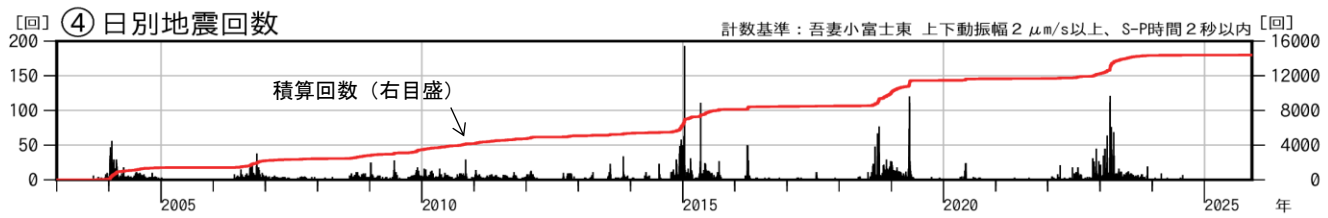
② 大穴火口の噴気孔からの噴気の高さ（日別最大値）



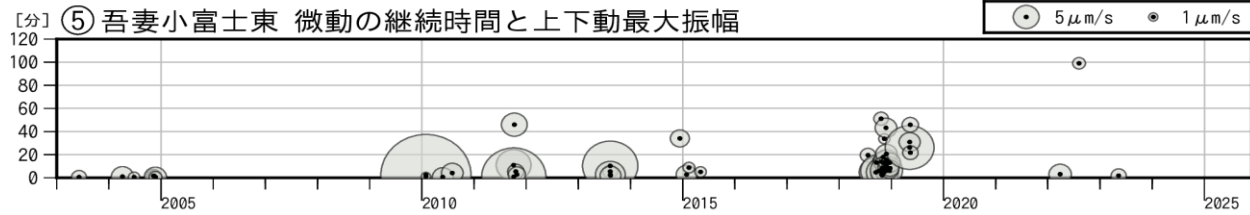
③ 火山ガス（二酸化硫黄）の放出量（2008年11月～）



④ 日別地震回数



⑤ 吾妻小富士東 微動の継続時間と上下動最大振幅



⑥ GNSS基線長（幕川温泉～高湯温泉及び砥石山）

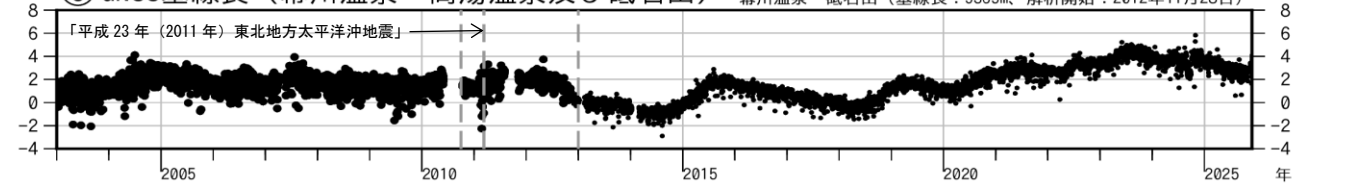
幕川温泉～高湯温泉（基線長：9065m、解析開始：2001年11月1日）
幕川温泉～砥石山（基線長：9365m、解析開始：2012年11月28日）

図2 吾妻山 中期的な火山活動の経過（2003年1月～2025年11月）

- ⑥は図16のGNSS基線③に対応しています。
- ⑥「平成23年(2011年)東北地方太平洋沖地震」に伴うステップを補正しています。
- ⑥高湯温泉観測点は約300m東に位置する砥石山観測点に移設しました。
- ⑥GNSS基線長は2010年10月及び2013年1月に解析方法を変更しています。
- ⑥システム更新に伴う調整中のため、一部の過去データにステップ状の変化がみられています。

2003年以降、吾妻山深部及び大穴火口浅部の膨張を示す地殻変動や地震活動の活発化を繰り返しています。2008年から2011年にかけては、噴気・地熱活動が活発な状況でした。

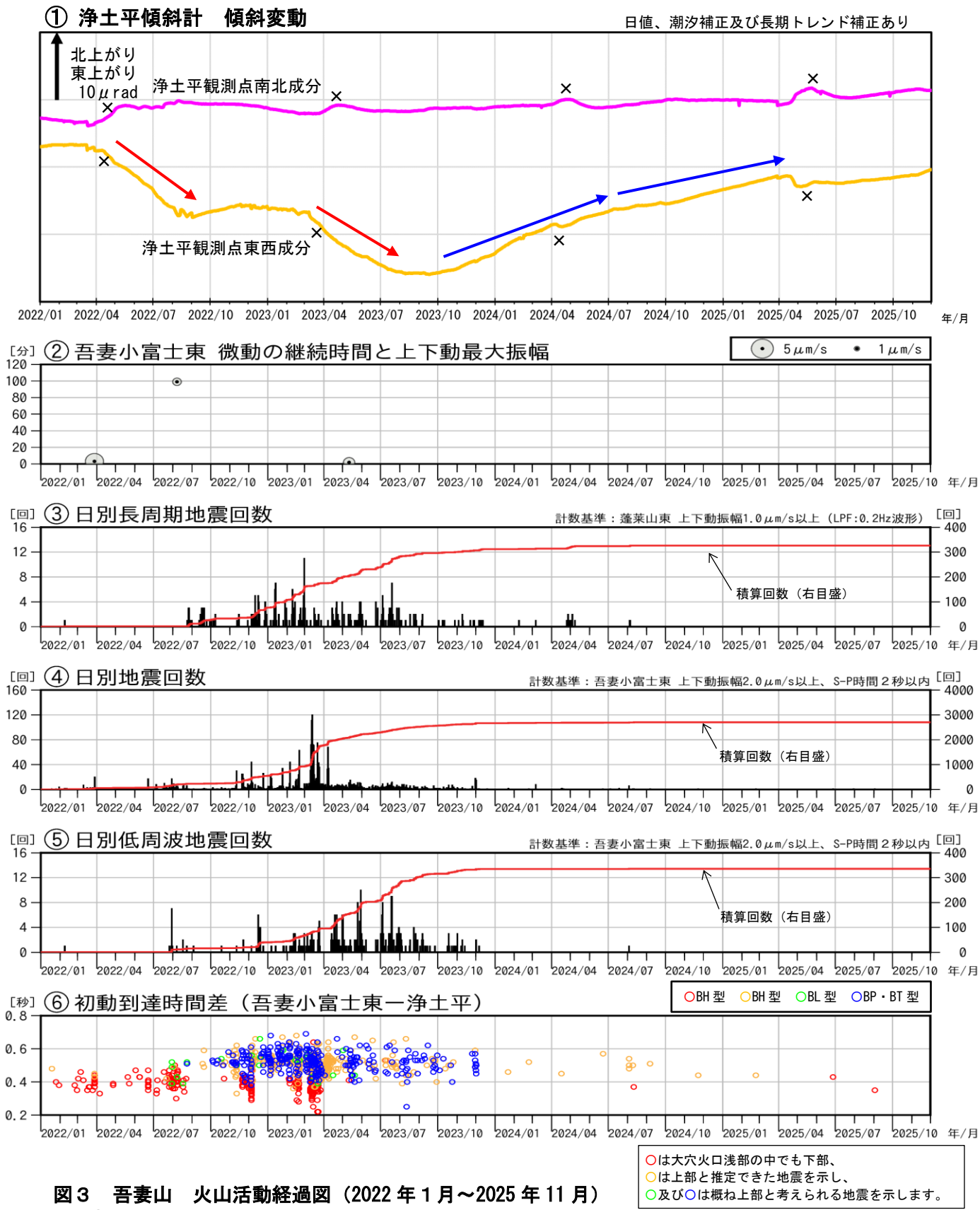


図3 吾妻山 火山活動経過図（2022年1月～2025年11月）

- ① × : 融雪期には北西上がりの変動がみられます。
- ④ 日別地震回数に③長周期地震の回数は含まれていません。

今期間、火山性地震及び火山性微動は観測されませんでした。

浄土平観測点（大穴火口から東南東約1km）に設置している傾斜計では、2022年5月から2023年7月頃にかけて、大穴火口（西）方向の隆起を示す緩やかな変化が繰り返しほまれていましたが（赤矢印）、2023年9月下旬からは大穴火口方向の沈降を示す変化となり（青矢印）、2025年5月中旬以降、概ね停滞しています。

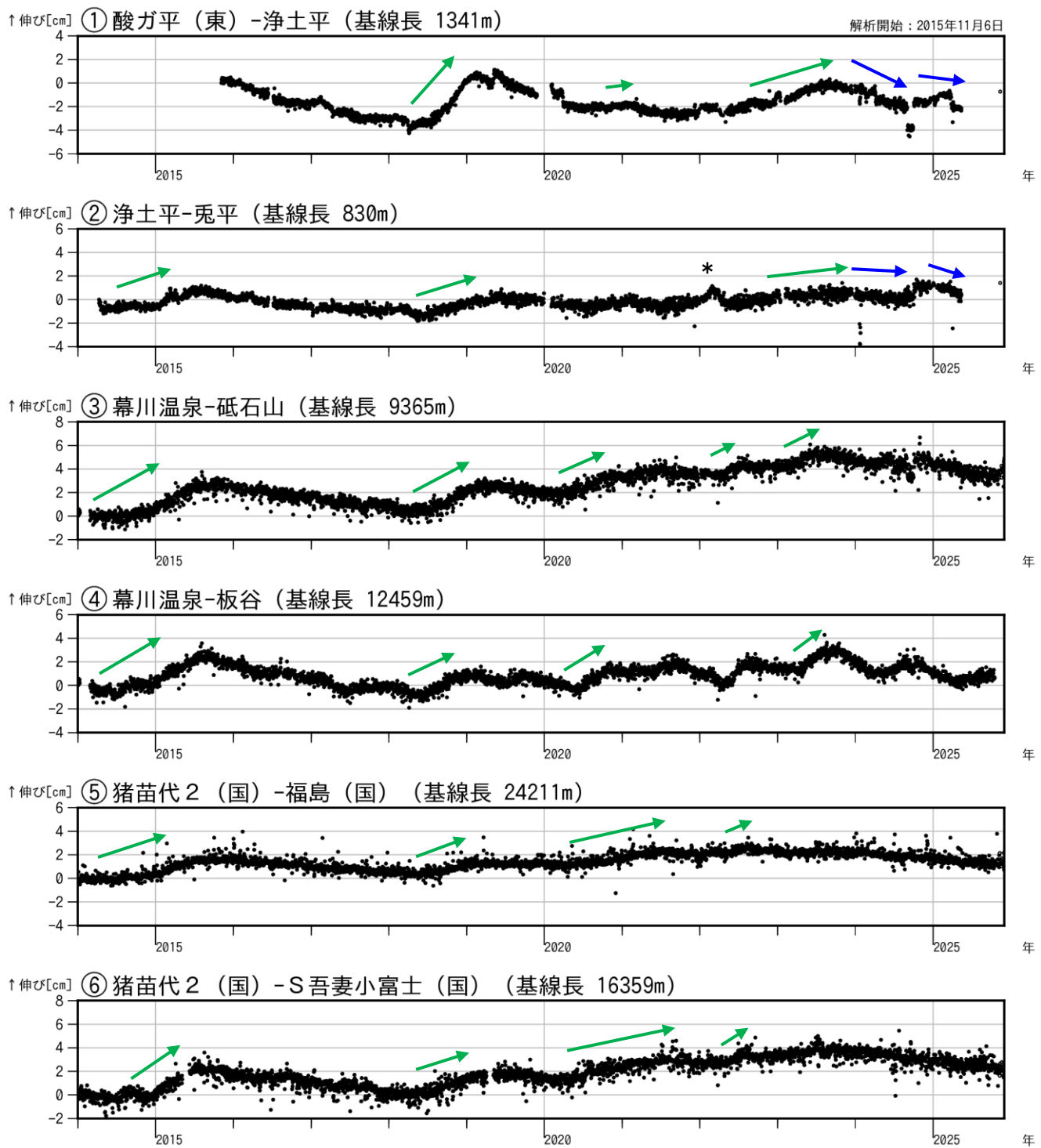


図4 吾妻山 吾妻山浅部・深部の地殻変動（2014年1月～2025年11月）

- ①～⑥は図16のGNSS基線①～⑥に対応しています。
- 空白部分は欠測を示します。
- （国）は国土地理院、（東）は東北大学の観測点を示します。
- *：積雪等に起因すると考えられる変化で、火山活動によるものではないと考えられます。
- 大穴火口周辺の短い基線や吾妻山周辺の長い基線では、過去大穴火口浅部や吾妻山深部での火山活動に伴う変化（緑矢印）が観測されていました。

GNSS連続観測の大穴火口周辺の短い基線（①②）では、2023年9月から縮みの変化が認められています（青矢印）。なお、今期間は観測機器の障害によりほとんど観測値を得られていません。

吾妻山周辺の長い基線（③～⑥）では、今期間、火山活動によると考えられる変化は認められませんでした。

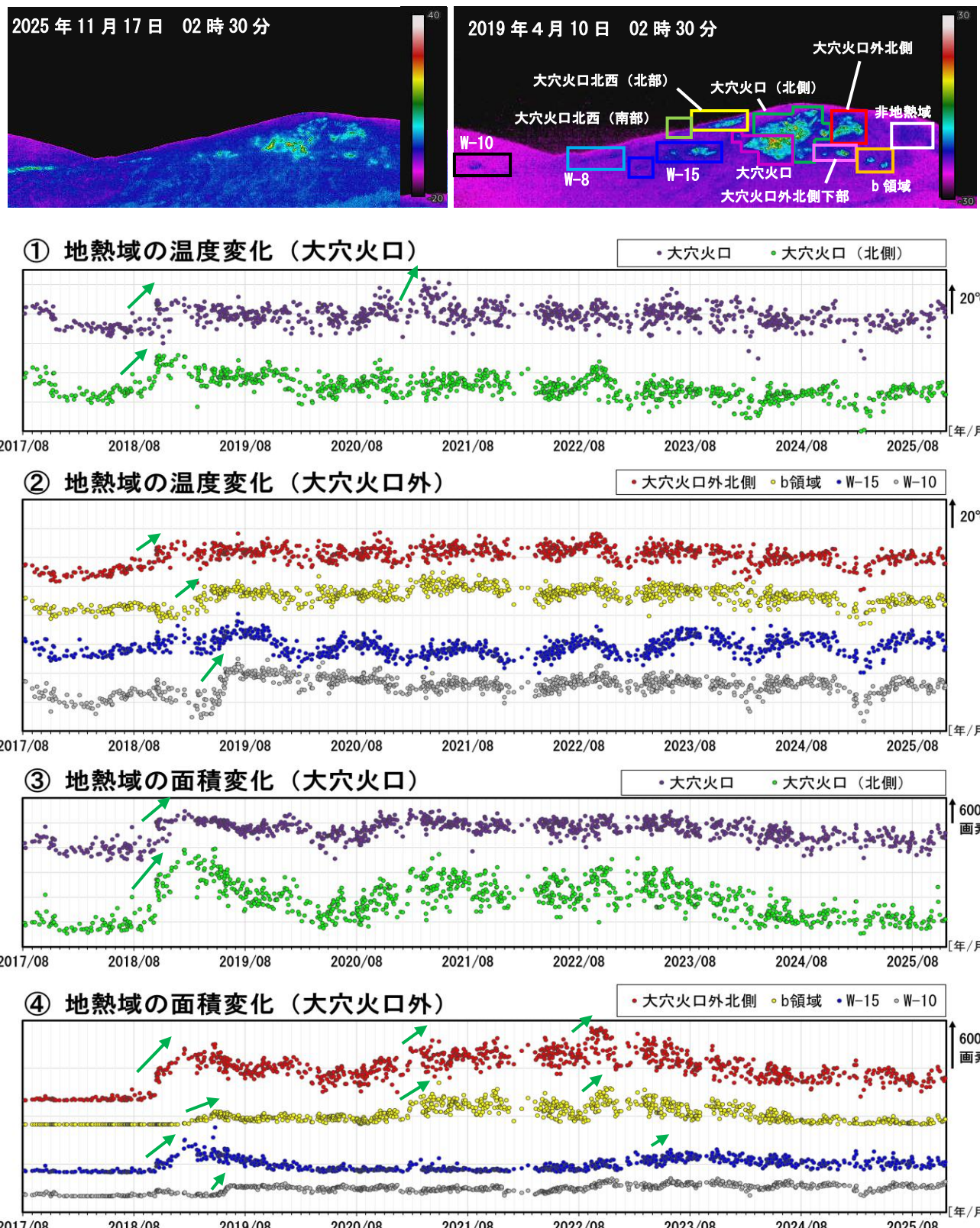


図5 吾妻山 監視カメラによる大穴火口周辺の地熱域の経過（2017年8月～2025年11月）

- ①～②は各領域の最高温度と吾妻山の南約6kmのアメダス鷲倉の気温との差を示しています。
- ③～④は領域毎に非地熱域（白枠）の平均温度より5°C以上高い領域の画素数を示しています。数値が大きくなるほど、地熱域の面積が拡大していることを示します。
- 空白部分は天候不良等による欠測を表しています。
- これまでの火山活動活発化の際には、地熱域の面積拡大や温度上昇がみられました（緑矢印）。

大穴火口周辺の地熱域に特段の変化は認められませんでした。

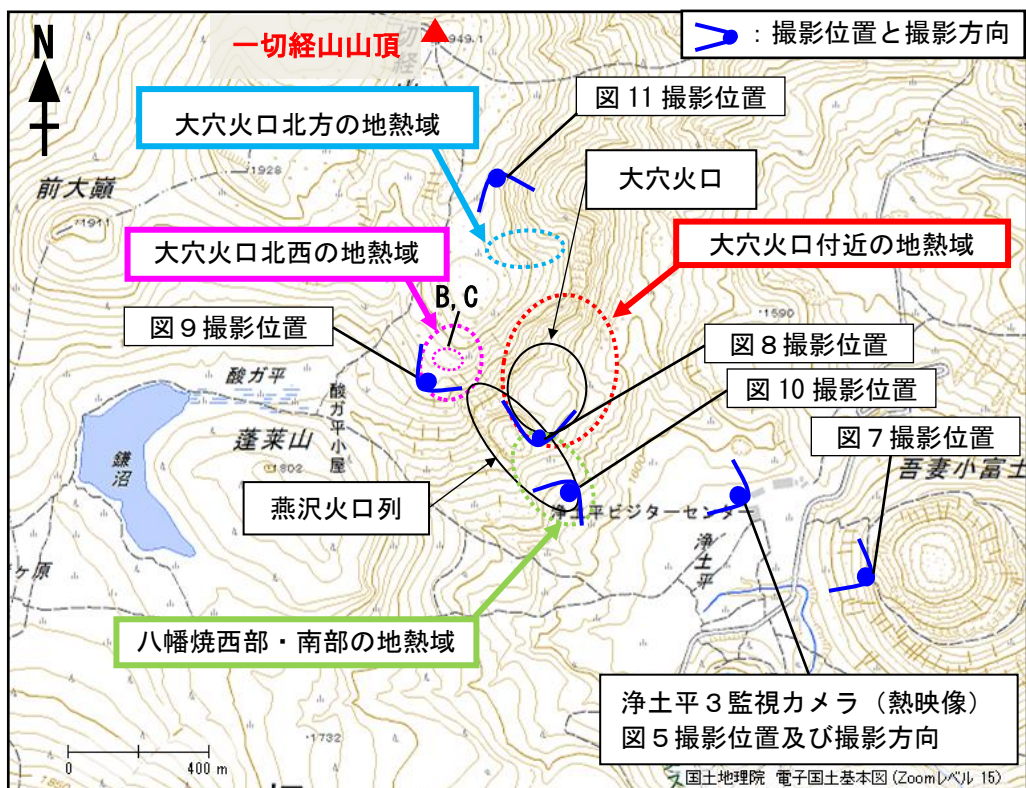


図6 吾妻山 大穴火口周辺の噴気と地熱域の分布及び写真と地表面温度分布撮影位置、撮影方向

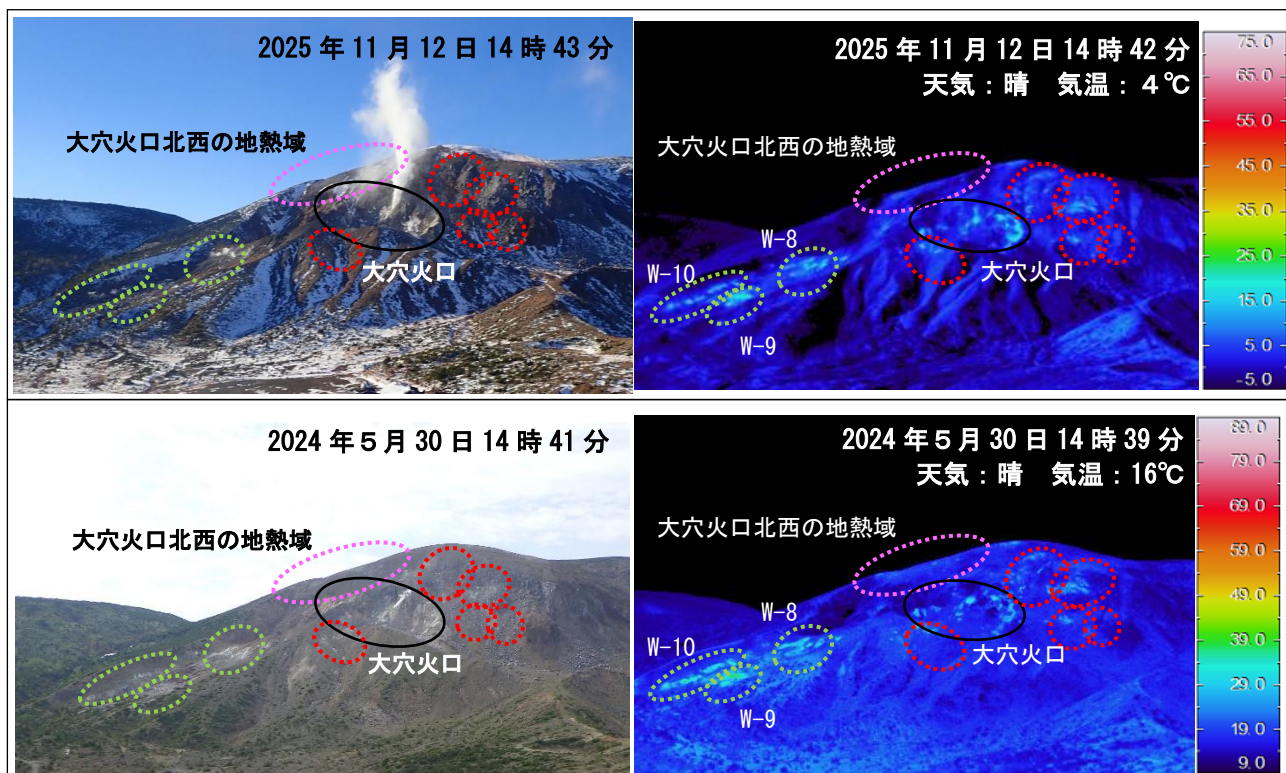


図7 吾妻山 大穴火口及びその周辺の状況（左）と地表面温度分布（右）

・図中の破線の色は、図6の破線の色に対応します。

※日射の影響により、裸地等では表面温度が高めに表示されています。

12日に実施した現地調査では、前回（2024年5月30日）と比較して噴気・地熱域の状況に大きな変化は認められませんでした。なお12日は、監視カメラによる観測で、大穴火口の噴気の高さが一時的に200mを観測しています。

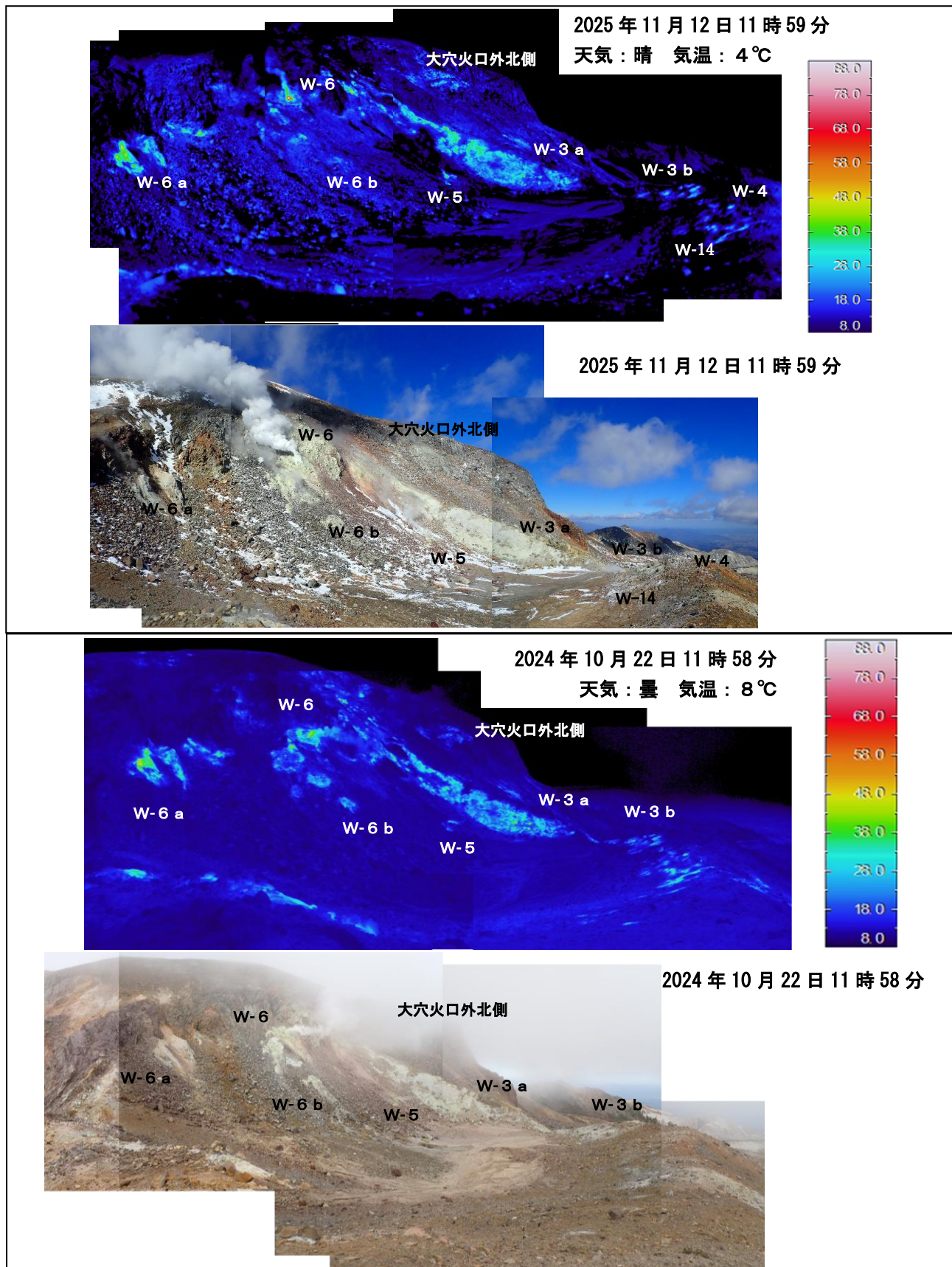


図8 吾妻山 大穴火口付近及びその周辺の状況（下）と地表面温度分布（上）

- ・図中の破線の色は、図6の破線の色に対応します。
- ・噴気や雲のため、一部の地熱域が隠れています。
- ※日射の影響により、裸地等では表面温度が高めに表示されています。

12日に実施した現地調査では、前回（2024年10月22日）と比較して噴気・地熱域の状況に大きな変化は認められませんでした。なお12日は、監視カメラによる観測で、大穴火口の噴気の高さが一時的に200mを観測しています。

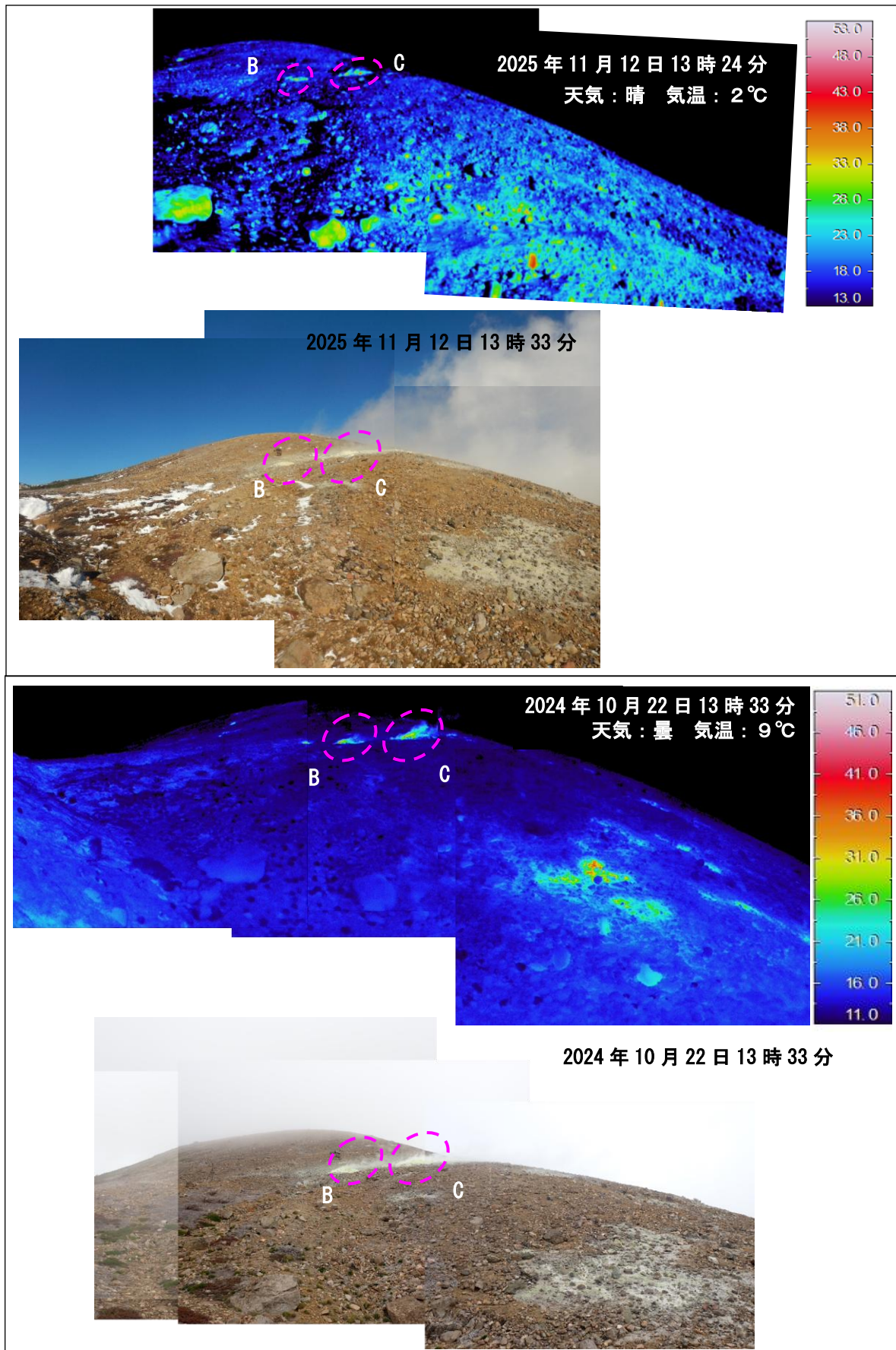


図9 吾妻山 大穴火口北西の状況（下）と地表面温度分布（上）

- ・図中のB、Cの場所は、図6のB、Cの場所に対応します。
- ※日射の影響により、裸地等では表面温度が高めに表示されています。

12日に実施した現地調査では、前回（2024年10月22日）と比較して、地熱域と周囲との温度差が小さくなつたことを確認しました。日射の影響が考えられます。地熱域の範囲が不明瞭になった可能性もあります。噴気の状況には大きな変化は認められませんでした。

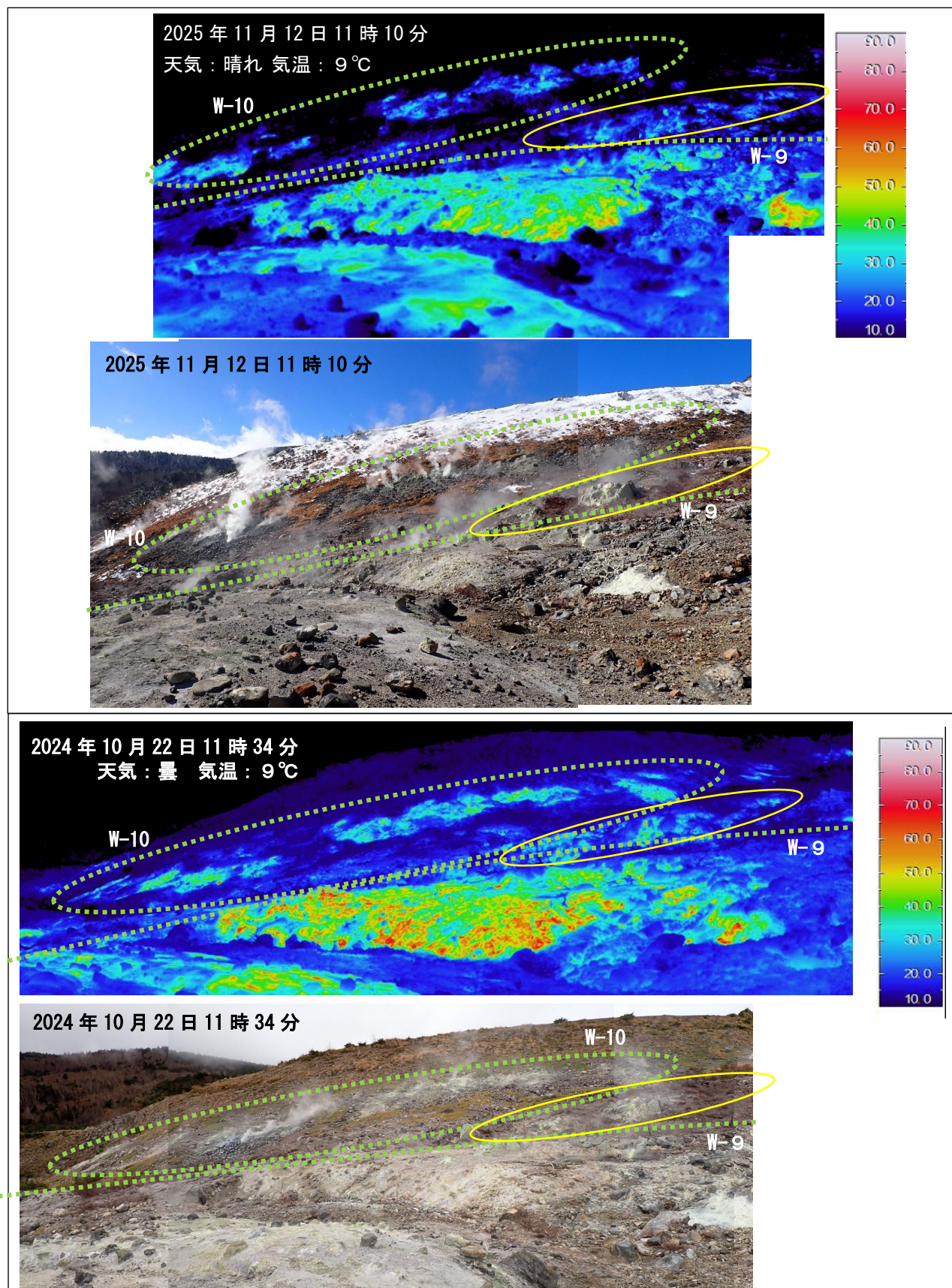


図10 吾妻山 八幡焼の状況（下）と地表面温度分布（上）

・図中の破線の色は、図6の破線の色に対応します。

※日射の影響により、裸地等では表面温度が高めに表示されています。

12日に実施した現地調査では、前回（2024年10月22日）と比較して噴気・地熱域の状況に大きな変化は認められませんでした。わずかな拡大が認められているW-9とW-10との間の地熱域（黄枠内）では、引き続き地熱域が認められました。

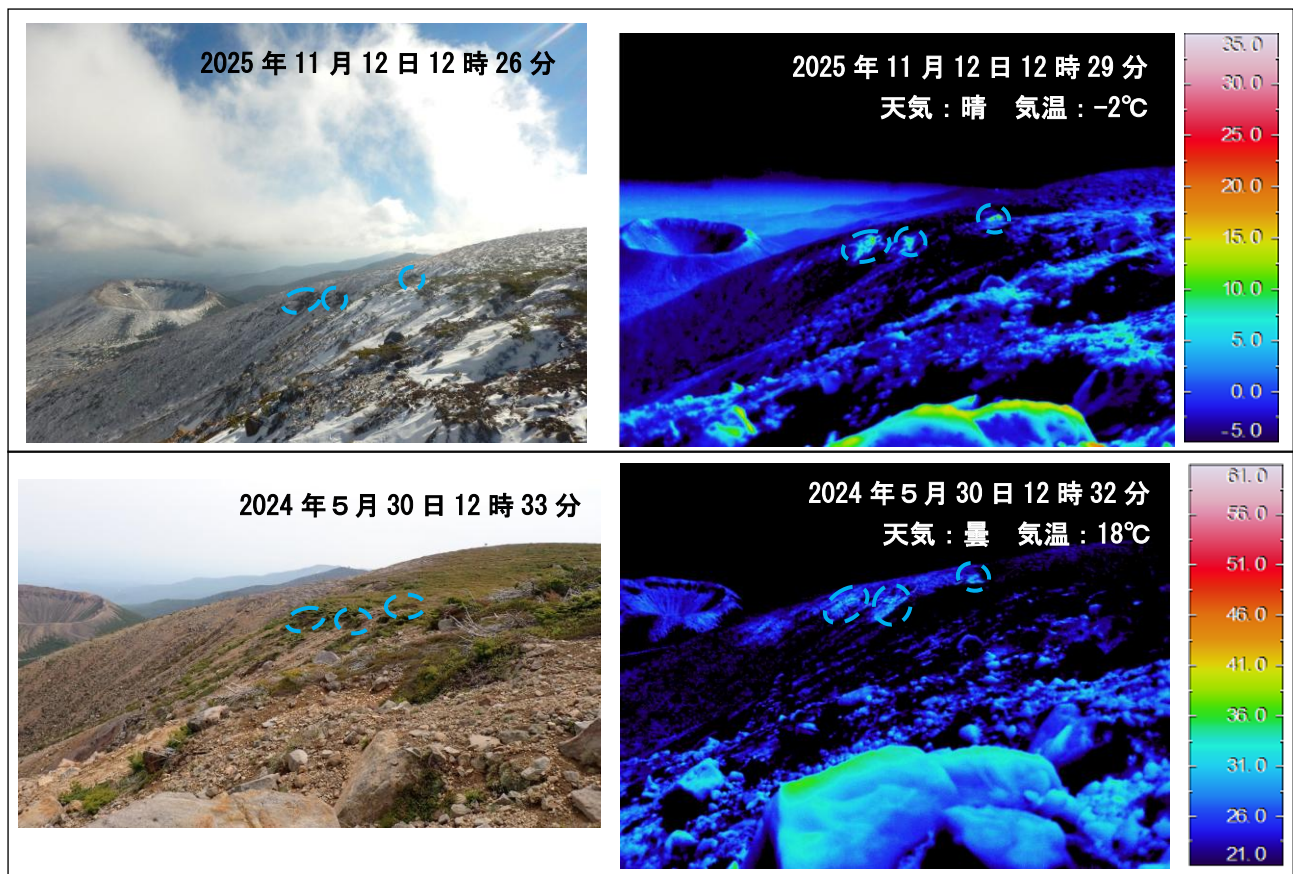


図 11 吾妻山 大穴火口北方周辺の状況（左）と地表面温度分布（右）

- ・図中の破線の色は、図 6 の破線の色に対応します。
- ・噴気や雲のため、一部の地熱域が隠れています。

※日射の影響により、裸地等では表面温度が高めに表示されています。

12日に実施した現地調査では、前回（2024年5月30日）と比較して、地熱域の状況に大きな変化は認められませんでした。

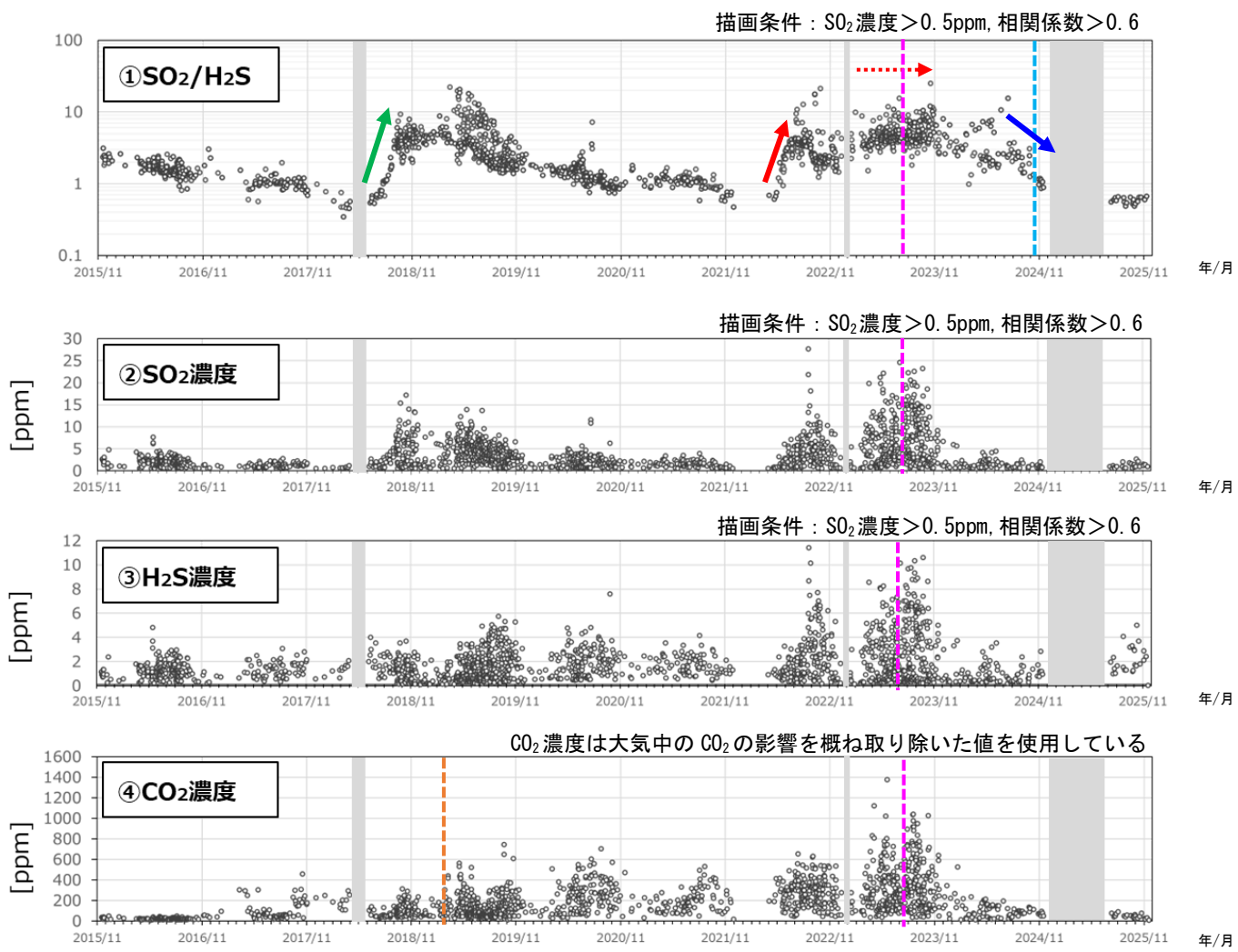


図 12 吾妻山 火山ガス観測装置による観測（2015年11月～2025年11月）

- 火山ガス観測装置では、噴気孔から流れてくる火山ガスと周辺大気の混合気体を測定しているため、測定される濃度は、風向きや大気との混合の影響を受けて増減する場合があります。一方、複数の火山ガスの濃度比はこうした影響を受けにくいため、火山活動評価の指標として利用しています。
- 橙色破線は火山ガス観測装置のセンサー交換を示し、それ以前は高濃度のCO₂を観測できていない可能性があります。
- 桃色破線は臨時観測を行う火山ガス濃度の閾値変更を示し、それ以降臨時観測を行う頻度が低下している可能性があります。火山ガス観測装置では、毎日13時に定時観測を行う他、高濃度の火山ガスを検知した際に臨時観測を行います。
- 水色破線は火山ガス観測装置のセンサー交換を示し、それ以降のデータは感度補正を行っていません。水色破線以前のデータは感度補正済みです。
- グラフの灰色部分は欠測を表しています。
- 季節風が強まる冬期には観測点が大穴火口の北西側にある位置関係のため観測データを得にくい状況となります。
- SO₂とH₂Sの濃度比は2018年5月頃から9月にかけて上昇がみられ（緑矢印）、2022年5月頃にも上昇がみられました（赤矢印）。

火山ガス観測装置による観測では、SO₂とH₂Sの濃度比は、2023年2月以降、2018～2019年の活動期並みの高い値となっていました（赤破線矢印）。その後、SO₂とH₂Sの濃度比は次第に低下し、概ね静穏期の水準の値に戻っています（青矢印）。

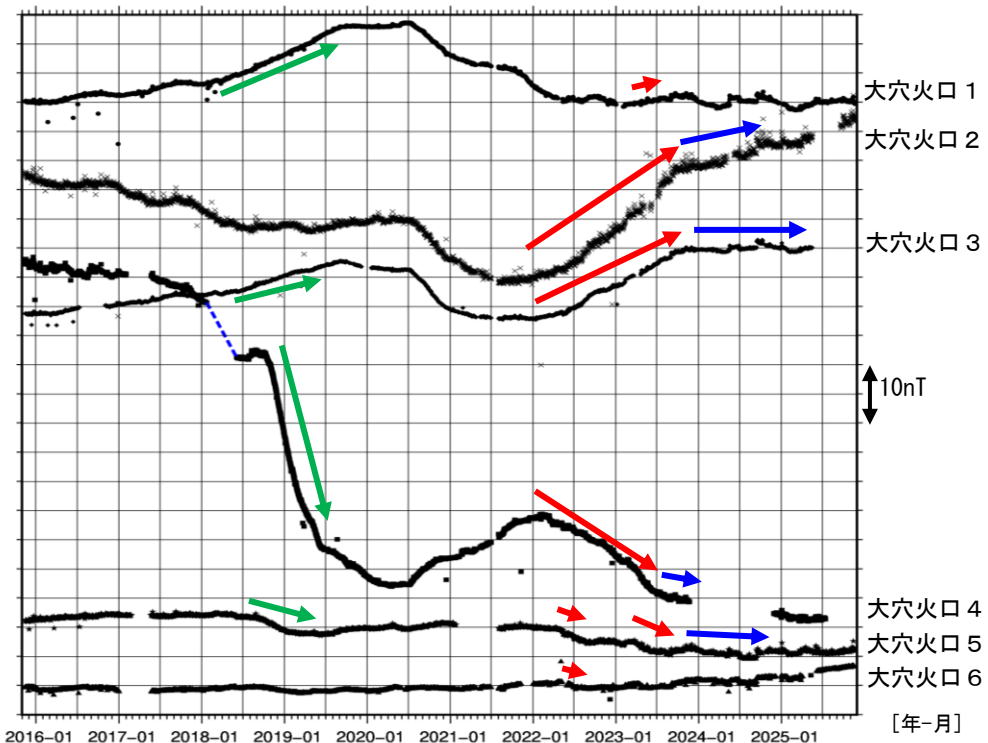


図 13 吾妻山 全磁力連続観測点の全磁力値変化（2015年11月～2025年11月）

- 各観測点の場所は図17に示しています。
- グラフの空白部分は欠測を表しています。
- 全磁力連続観測のデータは参考点（大穴火口の北東約6kmにある高湯観測点あるいは大穴火口の南東約16kmにある上葉木坂西観測点）で観測された全磁力値を基準とした場合の各日の00時00分から02時59分の平均値を示しています。
- 青線で示す観測点大穴火口4における全磁力変動は、観測機器を再設置したことによる人為的な変動です。
- 2018年から2019年にかけて、全磁力値の変化がみられました（緑矢印）。この変化は大穴火口北西地下の温度上昇を示すと考えられます。

全磁力連続観測では、2021年12月以降、大穴火口周辺地下の温度上昇を示唆する変化（赤矢印）が認められました。その変化は、2023年後半から鈍化し（青矢印）、現在は概ね停滞しています。

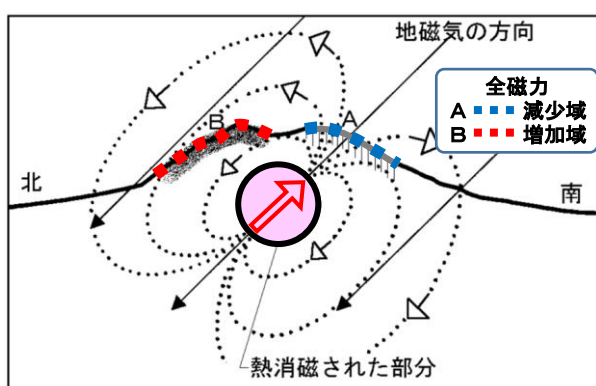


図 14 熱消磁に伴う全磁力変化のモデル

火山体周辺の全磁力変化と火山体内部の温度

観測点の全磁力変化	地下の岩石の磁化	火山体内部の温度変化
北側で増加 南側で減少	消磁	上昇
北側で減少 南側で増加	帶磁	低下

【参考】全磁力観測について

火山活動が静穏なときの火山体は地球の磁場（地磁気）の方向と同じ向きに磁化されています。これは、火山を構成する岩石には磁化しやすい鉱物が含まれており、マグマや火山ガス等に熱せられていた山体が冷えていく過程で、地磁気の方向に帶磁するためです。しかし、火山活動の活発化に伴い、マグマが地表へ近づくなどの原因で火山体内の温度が上昇するにつれて、周辺の岩石が磁力を失うようになります。これを「熱消磁」と言います。そして地下で熱消磁が発生すると、地表で観測される磁場の強さ（全磁力）が変化します。これらのことから、全磁力観測により火山体内部の温度の様子を知る手がかりを得ることができます。

例えば、火口直下で熱消磁が起きたとすると、火口の南側では全磁力の減少、火口北側では逆に全磁力の増大が観測されます。この変化は、熱消磁された部分に地磁気と逆向きの磁化が生じたと考えることで説明できます。左図に示すように、火口周辺で観測した全磁力の値は、南側Aでは地磁気と逆向きの磁力線に弱められて小さく、北側Bでは強められて大きくなることがわかります。

ただし全磁力の変化は、熱消磁によるものだけではなく、地下の圧力変化などによっても生じることがあります。

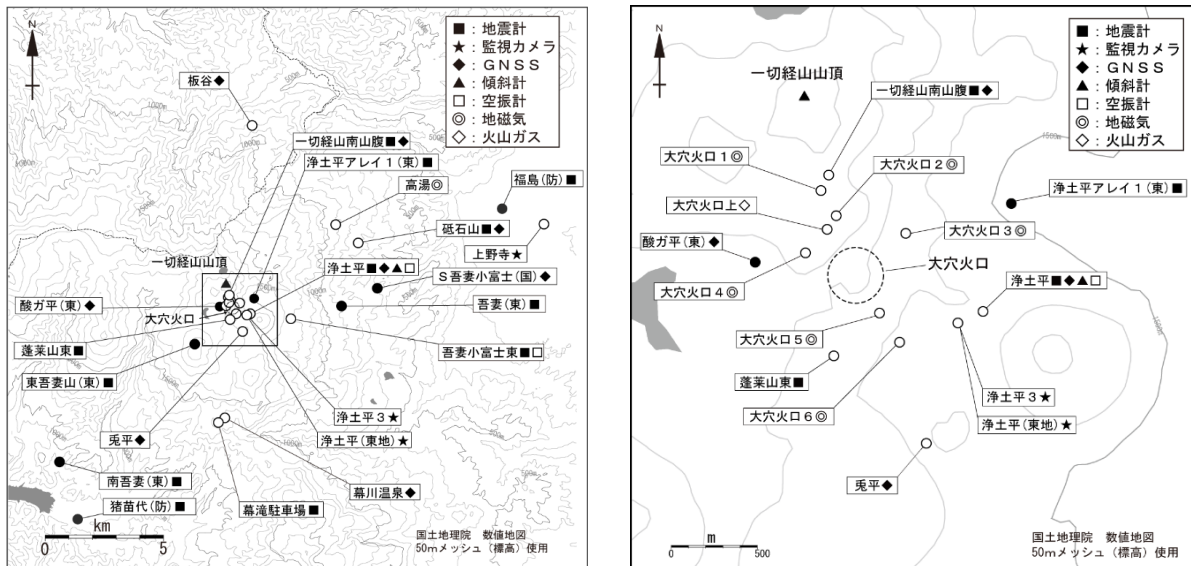


図 15 吾妻山 観測点配置図

白丸（○）は気象庁、黒丸（●）は気象庁以外の機関の観測点位置を示しています。

(東地)：東北地方整備局 (国)：国土地理院 (東)：東北大學 (防)：防災科学技術研究所
左図の四角囲みは右図の表示範囲を示しています。

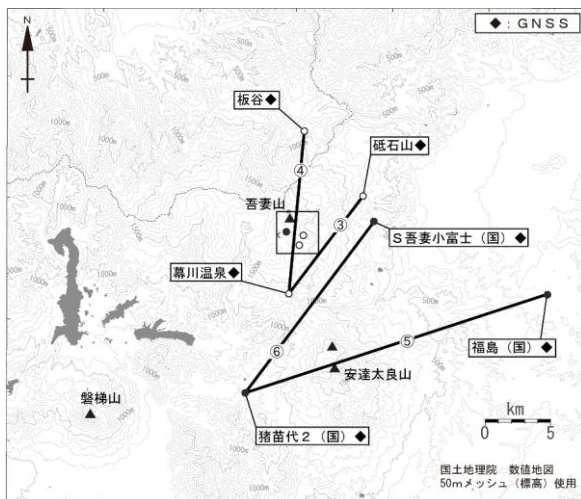


図 16 吾妻山 GNSS 観測基線図

白丸（○）は気象庁、黒丸（●）は気象庁以外の機関の観測点位置を示しています。

左図の四角囲みは右図の表示範囲を示しています。 (国) : 国土地理院 (東) : 東北大学

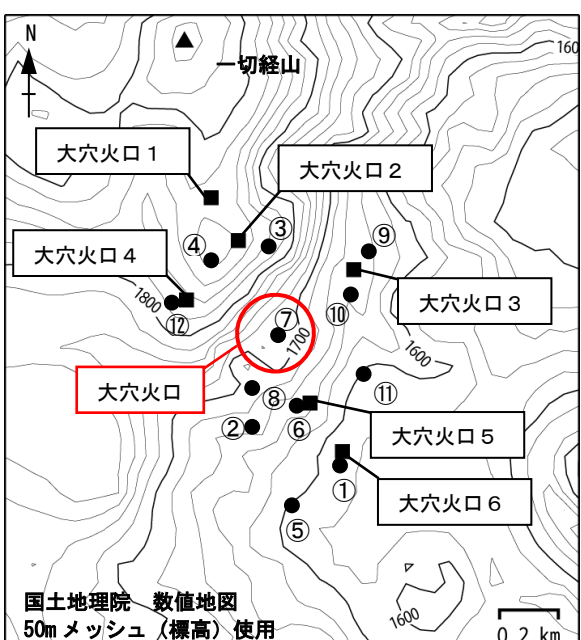
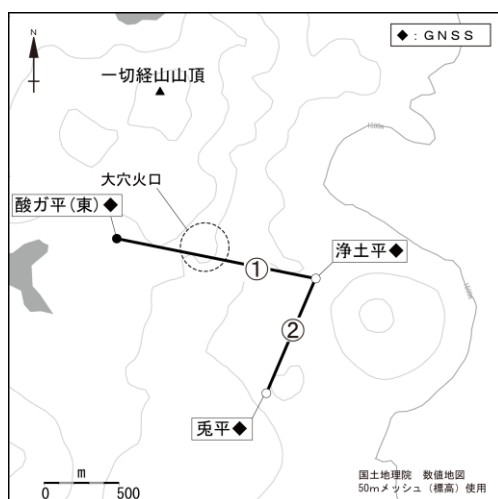


図 17 吾妻山 全磁力観測点配置図

■ 全磁力觀測點 (1~6)

● 全磁力繰り返し観測点 (①~⑫)